

土の動的変形係数の測定とその適用例

東北大学工学部 正員 柳次栄司
同 学生員 矢作文敏

1 まえがき

地盤や土構造物の耐震性を検討するためには、地盤 盛土等の材料の動的特性を求め、応答解析を行なう必要がある。動的特性を調べる現場試験および室内試験の二種類があるが、室内試験には共振法および振動三輪法がある。本報告は 1978年宮城県沖地震で被害を受けた手薄干拓堤防を例にとり、共振柱試験によて測定した地盤材料の動的試験結果とその簡単な適用例をとりまとめたものである。なお、手薄干拓堤防はおばれ谷の地形をなす凝灰岩の基盤の上に厚く堆積した軟弱な粘土層の上に敷砂を行ない、その上に砂質土をもって構築したもので、圧密沈下解析のための調査が行なわれており、地盤の土質条件が比較的小く知られるといえるものである。

2 実験方法および試料

実験方法 供試体は、直径 5cm、高さ 12.5cm の中実円柱供試体で、上端に振動コイルでねじり振動を与え、そのときの共振振動を圧電素子型のピックアップにより計測するよう設計されたものである。砂の場合は空気乾燥状態で実験を行ない、粘土の場合にはそれを拘束圧で十分(48時間)圧密を行なってから共振実験を行なった。

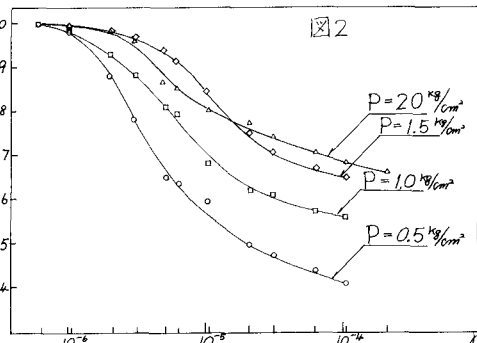
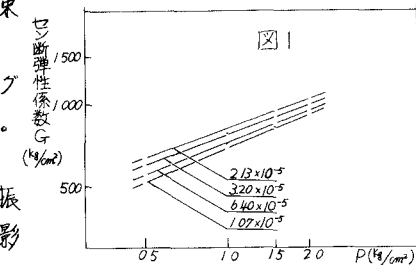
試料 試料は松島海岸手薄地区より採取した砂、およびボーリング採取した不搅乱粘土である。砂、粘土の諸定数は表のとおりである。

3 実験結果

(1) 砂のせん断弾性係数 G について、図1を見ると同じひずみ振幅 δ に対し、 G は P に比例している。しかし、図をよく見ると δ の影響を若干うけた様で、 δ の増加に伴い、 P で表わした m が大きくなっている。これは供試体の作製誤差によるものと思われる。 G_0 。図2は各ひずみ振幅において得た G を $\delta = 6.4 \times 10^{-5}$ で除して示したものである。 G/G_0 の値は、 δ の増加に伴ってかなり減少しており、減少の割合は拘束圧の大きい程小さいのがわかる。 $P = 2.0 \text{ kN/cm}^2$ では 31.5% 減少しているが、 $P = 0.5 \text{ kN/cm}^2$ では 59.4% も減少している。以上の様にこの砂の場合、ひずみ振幅の影響を大きくうけたことがわかる。その要因の一つは、砂中に貝殻が含まれているためと考えられる。

(2) 不搅乱粘土の G について、図3は各ひずみ振幅での G を $\delta = 5.2 \times 10^{-6}$ の G で除した値であるが、ひずみの拘束圧の場合ひずみ振幅の増加に伴い、 G の減少が明確にみられる。ひずみ振幅の小さいと、3で急激に減少し $\delta = 10^{-6}$ 以上になるとそれほど減少しなくなる。また、拘束圧の影響しみずれ、拘束圧が大きい程減少割合が大きくなっている。この点、砂の場合と反対の傾向があらわれている。とくに $P = 2.0 \text{ kN/cm}^2$ では、 $\delta = 5.2 \times 10^{-6}$ のときに $\delta = 5.2 \times 10^{-6}$ のときに 80% の減少がみられる。図4では、拘束圧の違いにより G の値が大幅に違つており、 G の拘束圧依存性が顕著である。また、 $\delta = 10^{-6}$ を越えると、各拘束圧ごとに G のはば一定である。

砂	粘土
比重 2.683	含水比 145%
現場密度 1.79 g/cm³	固隙比 3.68
間隙比 1.25	



(3) 不擾乱粘土の減衰定数 D : 図3に減衰定数の分布を示す。この粘土の場合、ほとんど拘束圧の影響があらわれず、 $\gamma=10^4$ はどのと $\gamma=14\sim18$ %と割合入る値を示している。図中で、線はとくに意味なし、点線ではない。

4. 適用例

上記の変形係数 G を用いて、丁博干拓堤防の応答特性を試算してみた。但し、堤体は高さ3mの三角形断面と仮定し、密度 $\rho_s = 1.80 \text{ g/cm}^3$, $V_s = 250 \text{ cm/sec}$ として。ここで用いた砂、および粘土の重力せん断弹性係数 G および諸定数は上記試験の結果のうち、ひずみの特徴小小さい時の値と、比較的大きい時の値である。計算は、正弦的のみ波が鉛直下向きに入射するとの仮定としている。計算手法の詳細については文献を参照されたい。

砂層は5mの厚さとして粘土層の厚さが変化したときの堤体・地盤系の固有周期を記したのが図6である。図中の2本の直線は、それよりひずみ振幅の小さい場合 ($\gamma=10^{-6}$) と大きい場合 ($\gamma=10^{-4}$) の固有周期を示し、粘土層の厚いところでは固有振動数が入るくなる。図中の白抜きの三角印および丸印は、同地盤における常時微動の卓越周期である。この図からも明らかなように常時微動の卓越周期は粘土層厚に比例する傾向がある。カリドー地盤時に地表変位が10cmあり、下とすれば岩盤より上の土のひずみは 10^3 減衰定数のオーダーになるので、地震時には、かなりの剛性の低下があるものと考えられる。なお、この図から見て常時微動のひずみレベルは 10^{-5} 程度と考えられる。

参考文献

柳次栄司 多層地盤上の堤体の地震応答特性について
日本地震工学シンポジウム

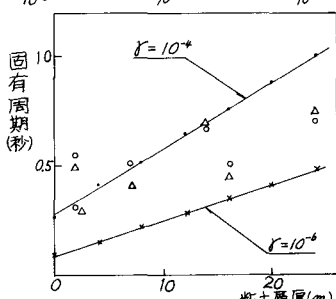
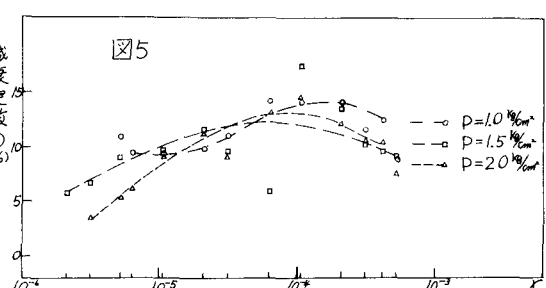
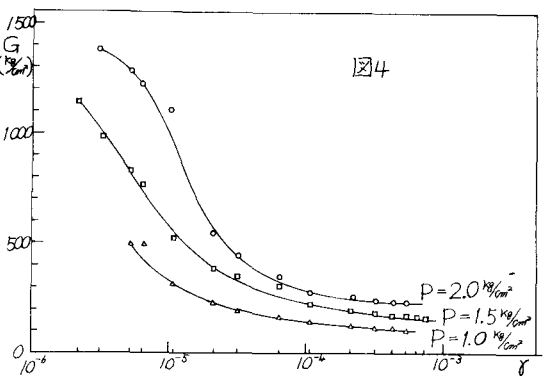
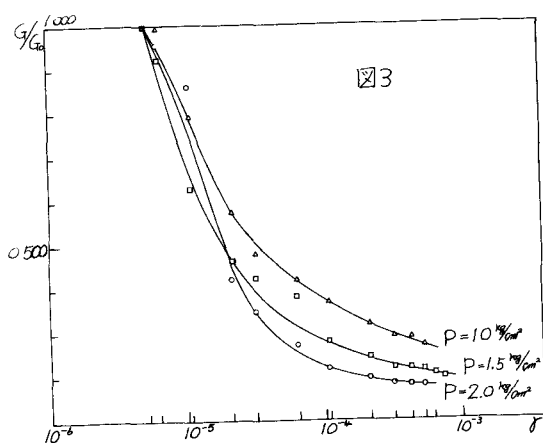


図6 固有周期の歪依存性